

HHL - Algorithmus

Alfred Nguyen

Fakultät der Informatik
Technische Universität München
85758 Garching, Bavaria

June 2023

Gliederung

Einführung/Motivation

HHL Algorithmus

Einfaches Beispiel

Evaluierung

Zukunftsperspektiven/Anwendungen

Gliederung

Einführung/Motivation

HHL Algorithmus

Einfaches Beispiel

Evaluierung

Zukunftsperspektiven/Anwendungen

Einführung

Wir haben schon viel über die wichtigsten Algorithmen gehört

- ▶ Shors-Algorithmus
- ▶ Grover-Algorithmus

Einführung

Wir haben schon viel über die wichtigsten Algorithmen gehört

- ▶ Shors-Algorithmus
- ▶ Grover-Algorithmus

Der HHL-Algorithmus

- ▶ erstellt von Aram Harrow, Avinatan Hassidim und Seth Lloyd
- ▶ lösen von sehr großen linearen Gleichungen

$$A\vec{x} = \vec{b}$$

Motivation

Es löst grundlegendes Probleme in der Mathematik

- ▶ Least square fitting
- ▶ Optimierungs Probleme
- ▶ Simulationen und Imageprocessing
- ▶ ...

Das Problem

Gegeben:

- ▶ Matrix A der Form $n \times n$
- ▶ Vektor \vec{b}

Das Problem

Gegeben:

- ▶ Matrix A der Form $n \times n$
- ▶ Vektor \vec{b}

Löse das System:

$$A\vec{x} = \vec{b}$$

$$\vec{x} = A^{-1}\vec{b}$$

Das Problem

Gegeben:

- ▶ Matrix A der Form $n \times n$
- ▶ Vektor \vec{b}

Löse das System:

$$A\vec{x} = \vec{b}$$

$$\vec{x} = A^{-1}\vec{b}$$

Wir sind also daran interessiert das Inverse A^{-1} zu finden

Gliederung

Einführung/Motivation

HHL Algorithmus

Einfaches Beispiel

Evaluierung

Zukunftsperspektiven/Anwendungen

Übersicht

Unser Ziel:

$$|x\rangle = A^{-1} |b\rangle$$

Übersicht

Unser Ziel:

$$|x\rangle = A^{-1} |b\rangle$$

Wenn $A = \overline{A^T} = A^\dagger$:

$$|x\rangle = e^{-iAt} |b\rangle$$

Übersicht

Unser Ziel:

$$|x\rangle = A^{-1} |b\rangle$$

Wenn $A = \overline{A^T} = A^\dagger$:

$$|x\rangle = e^{-iAt} |b\rangle$$

Wenn $A \neq A^\dagger$:

$$A\vec{x} = \vec{b}$$
$$\begin{pmatrix} 0 & A \\ \overline{A^T} & 0 \end{pmatrix} \begin{pmatrix} 0 \\ \vec{x} \end{pmatrix} = \begin{pmatrix} \vec{b} \\ 0 \end{pmatrix}$$

Übersicht

Unser Ziel:

$$|x\rangle = A^{-1} |b\rangle$$

Wenn $A = \overline{A^T} = A^\dagger$:

$$|x\rangle = e^{-iAt} |b\rangle$$

Wenn $A \neq A^\dagger$:

$$A\vec{x} = \vec{b}$$
$$\begin{pmatrix} 0 & A \\ \overline{A^T} & 0 \end{pmatrix} \begin{pmatrix} 0 \\ \vec{x} \end{pmatrix} = \begin{pmatrix} \vec{b} \\ 0 \end{pmatrix}$$

Wir können A diagonalisieren

$$A = U \begin{pmatrix} \lambda_1 & 0 & 0 \\ 0 & \dots & 0 \\ 0 & 0 & \lambda_n \end{pmatrix} U^T$$
$$\Rightarrow A^{-1} = U^T \begin{pmatrix} \lambda_1^{-1} & 0 & 0 \\ 0 & \dots & 0 \\ 0 & 0 & \lambda_n^{-1} \end{pmatrix} U$$

Der Algorithmus

Ablauf

1. State Preparation

Der Algorithmus

Ablauf

1. State Preparation

- ▶ Enkodiert Vektor und Matrix in Quanten Computer

Der Algorithmus

Ablauf

1. State Preparation
 - ▶ Enkodiert Vektor und Matrix in Quanten Computer
2. Quantum Phase Estimation

Der Algorithmus

Ablauf

1. State Preparation
 - ▶ Enkodiert Vektor und Matrix in Quanten Computer
2. Quantum Phase Estimation
 - ▶ ermittelt Eigenwerte

Der Algorithmus

Ablauf

1. State Preparation
 - ▶ Enkodiert Vektor und Matrix in Quanten Computer
2. Quantum Phase Estimation
 - ▶ ermittelt Eigenwerte
3. Ancilla Bit Rotation

Der Algorithmus

Ablauf

1. State Preparation
 - ▶ Enkodiert Vektor und Matrix in Quanten Computer
2. Quantum Phase Estimation
 - ▶ ermittelt Eigenwerte
3. Ancilla Bit Rotation
 - ▶ Invertiert Eigenwerte

Der Algorithmus

Ablauf

1. State Preparation
 - ▶ Enkodiert Vektor und Matrix in Quanten Computer
2. Quantum Phase Estimation
 - ▶ ermittelt Eigenwerte
3. Ancilla Bit Rotation
 - ▶ Invertiert Eigenwerte
4. Inverse Quantum Phase Estimation

Der Algorithmus

Ablauf

1. State Preparation
 - ▶ Enkodiert Vektor und Matrix in Quanten Computer
2. Quantum Phase Estimation
 - ▶ ermittelt Eigenwerte
3. Ancilla Bit Rotation
 - ▶ Invertiert Eigenwerte
4. Inverse Quantum Phase Estimation
 - ▶ löst verschränkte Qubits auf

Der Algorithmus

Ablauf

1. State Preparation
 - ▶ Enkodiert Vektor und Matrix in Quanten Computer
2. Quantum Phase Estimation
 - ▶ ermittelt Eigenwerte
3. Ancilla Bit Rotation
 - ▶ Invertiert Eigenwerte
4. Inverse Quantum Phase Estimation
 - ▶ löst verschränkte Qubits auf
5. Messung

Der Algorithmus

Ablauf

1. State Preparation
 - ▶ Enkodiert Vektor und Matrix in Quanten Computer
2. Quantum Phase Estimation
 - ▶ ermittelt Eigenwerte
3. Ancilla Bit Rotation
 - ▶ Invertiert Eigenwerte
4. Inverse Quantum Phase Estimation
 - ▶ löst verschränkte Qubits auf
5. Messung
 - ▶ liest das Ergebnis $|x\rangle$ aus

Gliederung

Einführung/Motivation

HHL Algorithmus

Einfaches Beispiel

Evaluierung

Zukunftsperspektiven/Anwendungen

Einfaches Beispiel

Matrix A und Vektor \vec{b} :

$$A = \begin{pmatrix} 1 & -\frac{1}{3} \\ -\frac{1}{3} & 1 \end{pmatrix}$$

$$\vec{b} = \begin{pmatrix} 0 \\ 1 \end{pmatrix}$$

Einfaches Beispiel

Matrix A und Vektor \vec{b} :

$$A = \begin{pmatrix} 1 & -\frac{1}{3} \\ -\frac{1}{3} & 1 \end{pmatrix}$$

$$\vec{b} = \begin{pmatrix} 0 \\ 1 \end{pmatrix}$$

Klassische Lösung

$$\vec{x} = \begin{pmatrix} 3 \\ 0 \\ 0 \\ 0 \end{pmatrix}$$

Wahrscheinlichkeits Verhältnis
der Lösung:

$$\frac{|x_0|^2}{|x_1|^2} = \frac{\frac{9}{64}}{\frac{81}{64}} = \frac{1}{9}$$

Einfach Beispiel

Eigenvektoren von A sind:

$$\vec{u}_0 = \begin{pmatrix} \frac{-1}{\sqrt{2}} \\ \frac{-1}{\sqrt{2}} \end{pmatrix}$$

$$\vec{u}_1 = \begin{pmatrix} \frac{-1}{\sqrt{2}} \\ \frac{1}{\sqrt{2}} \end{pmatrix}$$

Einfach Beispiel

Eigenvektoren von A sind:

$$\vec{u}_0 = \begin{pmatrix} \frac{-1}{\sqrt{2}} \\ \frac{-1}{\sqrt{2}} \end{pmatrix}$$

$$\vec{u}_1 = \begin{pmatrix} \frac{-1}{\sqrt{2}} \\ \frac{1}{\sqrt{2}} \end{pmatrix}$$

Enkodiert

$$|u_0\rangle = \frac{-1}{\sqrt{2}} |0\rangle + \frac{-1}{\sqrt{2}} |1\rangle$$

$$|u_1\rangle = \frac{-1}{\sqrt{2}} |0\rangle + \frac{1}{\sqrt{2}} |1\rangle$$

Einfach Beispiel

Eigenvektoren von A sind:

$$\lambda_0 = \frac{2}{3}$$

$$\lambda_1 = \frac{4}{3}$$

Einfach Beispiel

Eigenvektoren von A sind:

$$\lambda_0 = \frac{2}{3}$$

$$\lambda_1 = \frac{4}{3}$$

Einkodiert:

$$\widetilde{\lambda}_0 = 1$$

$$|\widetilde{\lambda}_0\rangle = |01\rangle$$

$$\widetilde{\lambda}_1 = 2$$

$$|\widetilde{\lambda}_1\rangle = |10\rangle$$

Einfach Beispiel

Eigenvektoren von A sind:

$$\lambda_0 = \frac{2}{3}$$

$$\lambda_1 = \frac{4}{3}$$

Einkodiert:

$$\widetilde{\lambda}_0 = 1$$

$$\widetilde{\lambda}_1 = 2$$

$$|\widetilde{\lambda}_0\rangle = |01\rangle$$

$$|\widetilde{\lambda}_1\rangle = |10\rangle$$

Enkodierungsschema:

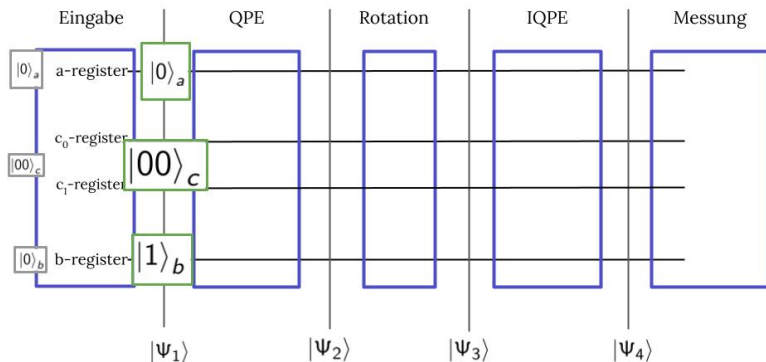
$$\widetilde{\lambda}_j = N\lambda_j t / 2\pi$$

State Preparation

- ▶ \vec{b} wird als Quantenzustand $|b\rangle$ kodiert
- ▶ in unserem Fall ist es sehr einfach

$$\vec{b} = \begin{pmatrix} 0 \\ 1 \end{pmatrix} \Leftrightarrow |b\rangle = 0|0\rangle + 1|1\rangle = |1\rangle$$

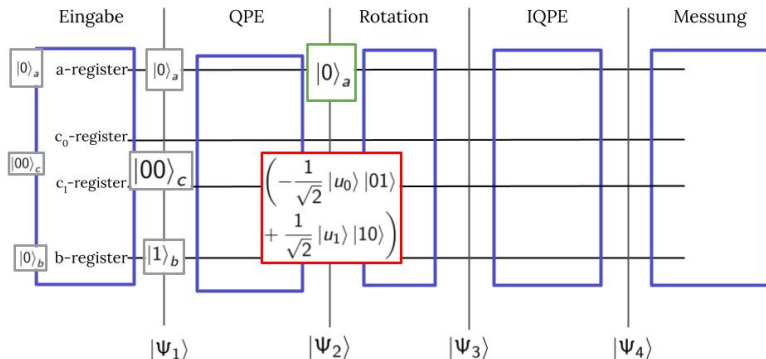
State Preparation



Wir starten im 1 Zustand

$$|\psi_1\rangle = |1\rangle_b |00\rangle_c |0\rangle_a = |1000\rangle$$

Quantum Phase Estimation



Wir erhalten:

$$|\Psi_2\rangle = |b\rangle_b |\tilde{\lambda}\rangle_c |0\rangle_a$$

$$|\Psi_2\rangle = \left(-\frac{1}{\sqrt{2}} |u_0\rangle |01\rangle + \frac{1}{\sqrt{2}} |u_1\rangle |10\rangle \right) |0\rangle_a$$

Ancilla Rotation - Eigenwerte invertieren

Wir invertieren das Ancilla Qubit:

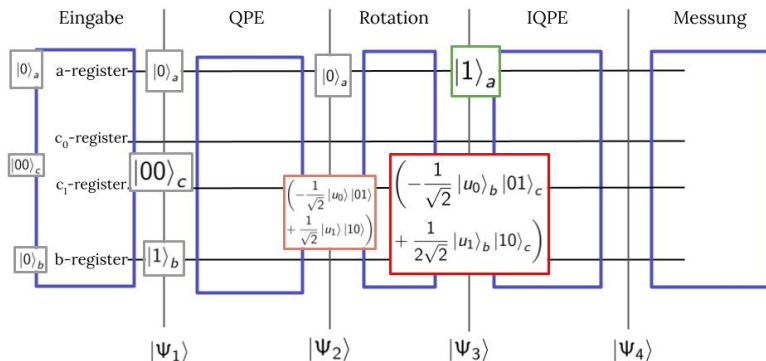
$$|\psi_3\rangle = \sum_{j=0}^{2^1-1} b_j |u_j\rangle |\tilde{\lambda}_j\rangle \left(\sqrt{1 - \frac{C^2}{\tilde{\lambda}_j^2}} |0\rangle + \frac{C}{\tilde{\lambda}_j} |1\rangle \right)$$

Wir gehen davon aus, dass wir $|1\rangle$ messen.

$$|\psi_3\rangle = \sqrt{\frac{8}{5}} \left(\frac{1}{\tilde{\lambda}_0} * -\frac{1}{\sqrt{2}} |u_0\rangle_b |01\rangle_c + \frac{1}{\tilde{\lambda}_1} * \frac{1}{\sqrt{2}} |u_1\rangle_b |10\rangle_c \right) |1\rangle_a$$

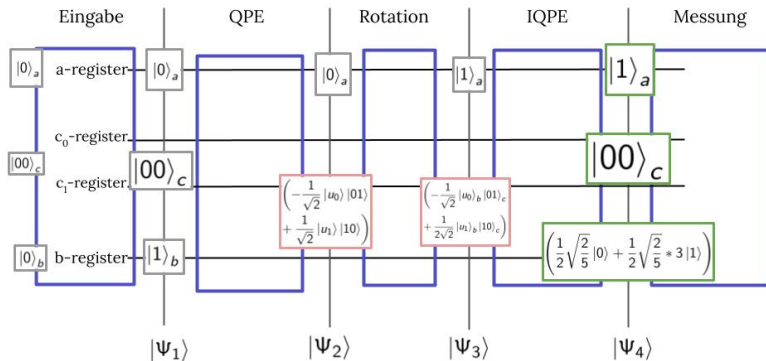
$$|\psi_3\rangle = \sqrt{\frac{8}{5}} \left(-\frac{1}{\sqrt{2}} |u_0\rangle_b |01\rangle_c + \frac{1}{2\sqrt{2}} |u_1\rangle_b |10\rangle_c \right) |1\rangle_a$$

Ancilla Rotation - Eigenwerte invertieren



$$|\psi_3\rangle = \sqrt{\frac{8}{5}} \left(-\frac{1}{\sqrt{2}} |u_0\rangle |01\rangle |1\rangle + \frac{1}{2\sqrt{2}} |u_1\rangle |10\rangle \right) |1\rangle_a$$

Inverse Quantum Phase Estimation



Wir erhalten:

$$|\Psi_4\rangle = |x\rangle_b |00\rangle_c |1\rangle_a$$

$$|\Psi_4\rangle = \frac{1}{2} \sqrt{\frac{2}{5}} (|0\rangle + 3|1\rangle) |00\rangle_b |1\rangle_a$$

Messung

Um die Wahrscheinlichkeit von x_0 und x_1 zu erhalten, müssen wir ihre Koeffizienten quadrieren

$$Pr[x_0] = \left| \frac{1}{2} \sqrt{\frac{2}{5}} * 1 \right|^2 = \frac{1}{20}$$

$$Pr[x_1] = \left| \frac{1}{2} \sqrt{\frac{2}{5}} * 3 \right|^2 = \frac{9}{20}$$

Das Verhältnis im b-Register ist wie erwartet 1 : 9.

Gliederung

Einführung/Motivation

HHL Algorithmus

Einfaches Beispiel

Evaluierung

Zukunftsperspektiven/Anwendungen

Gauß Verfahren

$$\mathcal{O}(N^3)$$

- ▶ nicht der schnellste Algorithmus
- ▶ gleiche constraints sind zu beachten!!

Laufzeit

Klassisch

Conjugate gradient descent

$$\mathcal{O}(\kappa \log\left(\frac{1}{\epsilon}\right) N)$$

$$\Rightarrow \mathcal{O}(N)$$

Quanten Version

HHL

Laufzeit

Klassisch

Conjugate gradient descent

$$\mathcal{O}\left(\kappa s \log\left(\frac{1}{\epsilon}\right) N\right)$$

$$\Rightarrow \mathcal{O}(N)$$

Quanten Version

HHL

$$\mathcal{O}\left(\frac{\kappa^2 s^2}{\epsilon} \log N\right)$$

$$\Rightarrow \mathcal{O}(\log(N))$$

Laufzeit

Klassisch

Conjugate gradient descent

$$\mathcal{O}\left(\kappa s \log\left(\frac{1}{\epsilon}\right) N\right)$$

$$\Rightarrow \mathcal{O}(N)$$

- ▶ $N :=$ Anzahl an unbekannten
- ▶ $\kappa = \frac{\lambda_{\max}}{\lambda_{\min}}$: condition number

Quanten Version

HHL

$$\mathcal{O}\left(\frac{\kappa^2 s^2}{\epsilon} \log N\right)$$

$$\Rightarrow \mathcal{O}(\log(N))$$

- ▶ $\epsilon :=$ Fehler des Ergebnisses
- ▶ $s :=$ s-sparse Matrix: jede Zeile hat max. s Einträge

Laufzeit

Klassisch

Conjugate gradient descent

$$\mathcal{O}\left(\kappa s \log\left(\frac{1}{\epsilon}\right) N\right)$$

$$\Rightarrow \mathcal{O}(N)$$

Quanten Version

HHL

$$\mathcal{O}\left(\frac{\kappa^2 s^2}{\epsilon} \log N\right)$$

$$\Rightarrow \mathcal{O}(\log(N))$$

Laufzeit

Klassisch

Conjugate gradient descent

$$\mathcal{O}\left(\kappa s \log\left(\frac{1}{\epsilon}\right) N\right)$$

$$\Rightarrow \mathcal{O}(N)$$

Quanten Version

HHL

$$\mathcal{O}\left(\frac{\kappa^2 s^2}{\epsilon} \log N\right)$$

$$\Rightarrow \mathcal{O}(\log(N))$$

Laufzeit

Klassisch

Conjugate gradient descent

$$\mathcal{O}\left(\kappa s \log\left(\frac{1}{\epsilon}\right) N\right)$$

$$\Rightarrow \mathcal{O}(N)$$

Quanten Version

HHL

$$\mathcal{O}\left(\frac{\kappa^2 s^2}{\epsilon} \log N\right)$$

$$\Rightarrow \mathcal{O}(\log(N))$$

Takeaway

- ▶ exponentialer speed up $\mathcal{O}(N)$ vs $\mathcal{O}(\log(N))$
- ▶ klassischer algorithmus hat bessere Fehlerabhängigkeit:
 $\log\left(\frac{1}{\epsilon}\right)$ vs $\frac{1}{\epsilon}$

Einschränkungen

1. niedrige condition number κ

Einschränkungen

1. niedrige condition number κ
2. A muss s -sparse sein

Einschränkungen

1. niedrige condition number κ
2. A muss s -sparse sein
3. nicht jeder Eintrag von $|x\rangle$ auslesbar

Einschränkungen

1. niedrige condition number κ
2. A muss s-sparse sein
3. nicht jeder Eintrag von $|x\rangle$ auslesbar
4. einfache Zustandsvorbereitung des Vektors \vec{b} zum Quantenzustand $|b\rangle$

Einschränkungen

1. niedrige condition number κ
2. A muss s -sparse sein
3. nicht jeder Eintrag von $|x\rangle$ auslesbar
4. einfache Zustandsvorbereitung des Vektors \vec{b} zum Quantenzustand $|b\rangle$
5. Der Ressourcenbedarf ist hoch

Gliederung

Einführung/Motivation

HHL Algorithmus

Einfaches Beispiel

Evaluierung

Zukunftsperspektiven/Anwendungen

Anwendungen

Hauptproblem

- ▶ Hauptproblem: gibt keinen vollständigen Vektor aus
- ▶ Aber einige Probleme können mit dieser Methode gelöst werden:

Anwendungen

Machine Learning: Least-Square-Fitting

- ▶ Datenanpassung mit Least Square Fitting
- ▶ durch Berechnung einer Schätzung der inversen Matrix

Anwendungen

Machine Learning: Least-Square-Fitting

- ▶ Datenanpassung mit Least Square Fitting
- ▶ durch Berechnung einer Schätzung der inversen Matrix

Simulationen von großen Systemen

- ▶ Elektrizitätsnetz vielen verbundenen Komponenten
- ▶ geringe Anzahl Verbindungen zwischen den Komponenten
- ▶ Berechnung des Widerstands durch approximation von Erwartungswerten

Anwendung in IT-Security

HHL in der IT-Security

- ▶ in erster Linie nur für Lösen von linearen Systemen
- ▶ nicht direkt mit IT-Security verbunden
- ▶ aber Potenzial als Subroutine angewendet zu werden

Anwendung in IT-Security

HHL in der IT-Security

- ▶ in erster Linie nur für Lösen von linearen Systemen
- ▶ nicht direkt mit IT-Security verbunden
- ▶ aber Potenzial als Subroutine angewendet zu werden

Mögliche Anwendungen

- ▶ secure multi-party computation
- ▶ zero-knowledge proofs
- ▶ cryptographic key generation and management
- ▶ big data analysis/pattern recognition (für Betrugserkennung)

Anwendung in IT-Security

HHL in der IT-Security

- ▶ in erster Linie nur für Lösen von linearen Systemen
- ▶ nicht direkt mit IT-Security verbunden
- ▶ aber Potenzial als Subroutine angewendet zu werden

Mögliche Anwendungen

- ▶ secure multi-party computation
- ▶ zero-knowledge proofs
- ▶ cryptographic key generation and management
- ▶ big data analysis/pattern recognition (für Betrugserkennung)

Es wäre wichtig, mehr Anwendungen zu finden, welche den Anforderungen entsprechen.

Optimierungen

Modifikationen und Optimierung

- ▶ QRAM zur Vorbereitung von $|b\rangle$

Optimierungen

Modifikationen und Optimierung

- ▶ QRAM zur Vorbereitung von $|b\rangle$
- ▶ kein Ancilla-Bit erforderlich unter bestimmten Voraussetzungen

Optimierungen

Modifikationen und Optimierung

- ▶ QRAM zur Vorbereitung von $|b\rangle$
- ▶ kein Ancilla-Bit erforderlich unter bestimmten Voraussetzungen
- ▶ Variable time amplitude amplification um condition number κ zu verbessern

Perspektive

- ▶ Großer Einfluss im Bereich Quantum Machine Learning

Perspektive

- ▶ Großer Einfluss im Bereich Quantum Machine Learning
- ▶ noch keine bahnbrechenden Anwendungen (wie z.B. Shors Algorithmus zum Brechen von RSA)

Perspektive

- ▶ Großer Einfluss im Bereich Quantum Machine Learning
- ▶ noch keine bahnbrechenden Anwendungen (wie z.B. Shors Algorithmus zum Brechen von RSA)
- ▶ aber viel aktive Forschung um neue Verbesserungen im Algorithmus zu finden

Perspektive

- ▶ Großer Einfluss im Bereich Quantum Machine Learning
- ▶ noch keine bahnbrechenden Anwendungen (wie z.B. Shors Algorithmus zum Brechen von RSA)
- ▶ aber viel aktive Forschung um neue Verbesserungen im Algorithmus zu finden
- ▶ zeigt deutlichen Fortschritt in der Quantencomputing Welt